



FAG

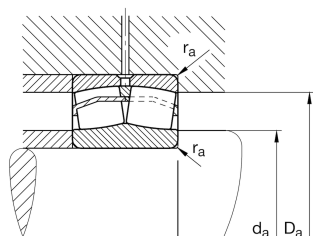
### 22338-BE-XL-C3 [↗](#)

Радиальный сферический роликоподшипник

Радиальные сферические роликоподшипники 223...-E1, основные размеры по DIN 635-2

X-life

## Техническая информация



### Ваш текущий вариант продукта

Design	BE	With lose center lip ring
Исполнение отверстия	Z	Цилиндрическое
Cage	JPB	Стальной сепаратор, штампованный
Радиальный зазор	C3 (Group 3)	Internal clearance larger than CN
Relubrication facility	Standard	Стандарт

### Основные размеры и рабочие характеристики

d	190 mm	Диаметр отверстия
D	400 mm	Наружный диаметр
B	132 mm	Ширина
C <sub>r</sub>	2.220.000 N	Динамическая грузоподъемность, радиальная
C <sub>0r</sub>	2.650.000 N	Статическая грузоподъемность, радиальная
C <sub>ur</sub>	213.000 N	Предел усталостной нагрузки, радиальный
n <sub>G</sub>	1.940 1/min	Предельная частота вращения
n <sub>gr</sub>	1.160 1/min	Номинальная тепловая частота вращения
m	77,73 kg	Вес



### Присоединительные размеры

$d_{a \min}$	210 mm	Мин. диаметр заплечика вала
$D_{a \max}$	380 mm	Макс. диаметр заплечика корпуса
$r_{a \max}$	4 mm	Макс. радиус галтели

### Габаритные размеры

$r_{\min}$	5 mm	Мин. размер монтажной фаски
$D_1$	338,1 mm	Диаметр отверстия наружного кольца
$d_2$	236,8 mm	Диаметр дорожки качения внутреннего кольца
$d_s$	12,5 mm	Диаметр смазочного отверстия
$n_s$	23,5 mm	Ширина смазочной канавки

### Диапазон температур

$T_{\min}$	-30 °C	Мин. рабочая температура
$T_{\max}$	200 °C	Макс. рабочая температура

### Коэффициенты для расчета

$e$	0,34	Предельное значение $F_a/F_r$ для применимости различн. значений коэффициентов X и Y
$Y_1$	1,96	Динамический коэффициент осевой нагрузки
$Y_2$	2,92	Динамический коэффициент осевой нагрузки
$Y_0$	1,92	Статический коэффициент осевой нагрузки



## Характеристики

-  Радиальная нагрузка
-  Осевая нагрузка в одном направлении
-  Осевая нагрузка в обоих направлениях
-  Смазывание пластичной смазкой
-  Смазывание маслом
-  Без уплотнений
-  Крупногабаритный подшипник
-  Статические угловые и линейные несоосности
-  Динамические угловые и линейные несоосности